

ارزیابی عدم قطعیت تغییر اقلیم و اثرات آن بر احتمال تواتر آبدی و رودی سد جامیشان

مریم حافظ پرست مودت^{۱*}، علی بافقار^۲، الهه پناهی^۳

* استادیار؛ گروه مهندسی آب؛ دانشگاه رازی؛ کرمانشاه؛ ایران

نویسنده مسئول مکاتبات: m.hafezparast@razi.ac.ir

۲) استادیار؛ گروه مهندسی آب؛ دانشگاه رازی؛ کرمانشاه؛ ایران

۳) دانش آموخته کارشناسی ارشد منابع آب؛ دانشگاه رازی؛ کرمانشاه؛ ایران

تاریخ دریافت: ۱۳۹۵/۰۸/۱۳ تاریخ پذیرش: ۱۳۹۵/۰۴/۰۲

چکیده

به نظر ارزیابی عدم قطعیت تغییر اقلیم بر آبدی و رودی به سد جامیشان واقع در شمال شرقی استان کرمانشاه، ابتدا تغییرات پارامترهای دما و بارش منطقه در دوره های ۲۰۳۹-۲۰۲۰ و ۲۰۵۹-۲۰۴۰ با استفاده از مدل ترکیبی حاصل از میانگین وزنی خروجی هفت مدل اقلیمی تحت سه سناریو انتشار A1B، A1B و A2 محاسبه شد، سپس داده های بارش و دمای روزانه محاسبه شده برای دوره های آتی تحت هرسناریو به مدل بارش-رواناب روزانه IHACRES که واسنجی و صحت سنجی شد، وارد شده و رواناب دوره های آتی تحت هر سناریو پیش بینی شد. به منظور تعیین دوره های پرآبی و کم آبی در وضعیت موجود و دوره های آتی، با استفاده از ماتریس احتمال انتقال زنجیره مارکف، احتمال تواتر ماه های پرآب، نرمال و کم آب محاسبه شد. نتایج نشان داد، در درجه ۲۰۳۹-۲۰۲۰، بارش و رواناب سالانه کاهش و دمای سالانه افزایش می یابد. در دوره ۲۰۵۹-۲۰۴۰ که تغییرات شدیدتر است دمای سالانه بین +۲ و -۰/۶۶ درجه سانتی گراد تغییر می کند. بارش و رواناب سالانه در سناریوهای A1B و B1 کاهش و در سناریو A2 افزایش نشان می دهد.

کلید واژه ها: تغییر اقلیم؛ زنجیره مارکوف؛ عدم قطعیت؛ IHACRES

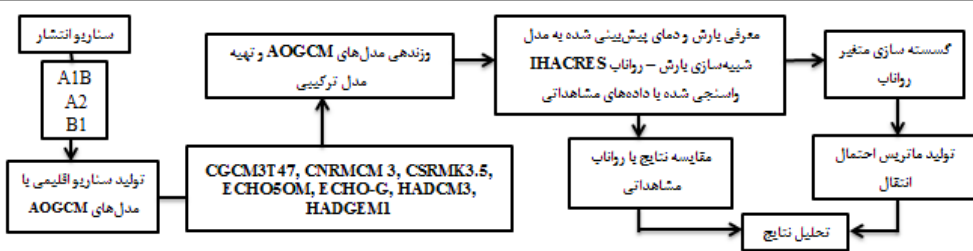
مقدمه

متوجه دمای سطحی کره زمین تا سال ۲۱۰۰ می تواند به ۱/۱ تا ۶/۴ درجه سانتی گراد برسد و باعث پدیده تغییر اقلیم شده و سبب ایجاد تغییر در رژیم هیدرولوژیکی شود (IPCC, 2007). Harris و Wilby (2006)، اثر تغییر اقلیم بر جریان های کم رودخانه در انگلستان را با مدل های مختلف شبیه سازی بارش-رواناب و عدم قطعیت مربوط

طبق گزارش های INTERGOVERNMENTAL (IPCC) در صورت ادامه روند (PANEL ON CLIMATE CHANGE) کنونی افزایش گازهای گلخانه ای مخصوصا گاز CO₂ در نتیجه مصرف سوخت های فسیلی، غلظت این گاز تا قبل از پایان قرن ۲۱ می تواند به بیش از ۶۰۰ ppm رسیده و

برای شبیه‌سازی جریان در حوضه‌های منطقه بکار گرفته شود. Soojin و همکاران (۲۰۱۵)، از مدل IHACRES برای شبیه‌سازی جریان داده‌های بارش آینده که با استفاده از سناریو تغییر اقلیم مدل چندگانه بیزی استفاده شد و نتایج شبیه‌سازی تغییر مدت زمان جریان در دوره آتی ۲۰۲۱-۲۰۰۰ مورد تجزیه و تحلیل قرار گرفت. کمال و مساح (۱۳۹۰)، در تحقیقی تاثیر عدم قطعیت مربوط به مدل‌های شبیه‌سازی سناریو انتشار A2 را در رودخانه قره‌سو کرمانشاه را بررسی کردند در این راستا از نه مدل IHACRES و دو مدل مفهومی بارش-رواناب AOGCM و SIMHYD استفاده شد و نتایج نشان داد که در نظر گرفتن عدم قطعیت مربوط به مدل‌های AOGCM و مدل‌های هیدرولوژیکی باعث تعیین دقیق‌تر تغییرات رواناب در منطقه مطالعاتی می‌شود. آشفته و مساح (۱۳۹۱)، تاثیر پدیده تغییر اقلیم بر رواناب حوضه قرنقو در دوره ۲۰۱۰-۲۰۳۹ را با لحاظ نمودن عدم قطعیت مربوط به مدل‌های IHACRES AOGCM را بررسی نمودند. با واسنجی مدل و با استفاده از روش مونت کارلو رواناب ماهانه در دوره آتی شبیه‌سازی گردید. خردادی و همکاران (۱۳۹۲)، بررسی تاثیر پدیده تغییر اقلیم بر پنج پارامتر هواشناسی در زیر حوضه تهران-کرج از مدل گردش عمومی HADCM3 تحت سناریو انتشار A2 برای ۳ دوره آینده استفاده کردند. قاسمی و همکاران (۱۳۹۲)، در تحقیقی تاثیر پدیده تغییر اقلیم بر رژیم رواناب حوضه شهرچای ارومیه در دوره ۲۰۱۰-۲۰۲۹ با در نظر گرفتن عدم قطعیت مربوط به مدل‌های AOGCM را بررسی کردند. برای کاهش عدم قطعیت مدل‌های AOGCM با روش MOTP وزن‌دهی شدند. رواناب رودخانه حوضه در دوره آتی نیز با مدل IHACRES شبیه‌سازی گردید.

به پارامترهای آن‌ها با در نظر گرفتن وزن‌های مختلف و روش مونت کارلو شبیه‌سازی کردند. نتایج نشان داد که عدم قطعیت مربوط به مدل‌های AOGCM بیشترین سهم و سناریوهای گازهای گلخانه‌ای کمترین سهم را در برآورد تابع احتمالاتی رواناب دارند. Mwangi و همکاران (۲۰۰۸)، مدل بارش-رواناب IHACRES را برای ۶ حوضه در بالادست رودخانه تانا در کنیا بکار برداشتند. Vaze و همکاران (۲۰۱۰)، با استفاده از چهار مدل بارش-رواناب تاثیر تغییرات اقلیم روی واکنش‌های هیدرولوژیکی ۶۱ حوضه جنوب شرق استرالیا را بررسی کردند و تخمین مدل IHACRES مطابقت بیشتری با داده‌های مشاهده‌ای دارد. Semenov و همکاران (۲۰۱۰)، بیان کردند که گروه مدل چندگانه (Multi-model ensemble) بر عدم قطعیت ناشی از تفاوت ساختاری در مدل‌های جهانی اقلیمی و نیز عدم قطعیت به علت تغییرات در شرایط اولیه یا پارامترهای مدل، در پیش‌بینی اقلیم تأکید دارد. Meshkinnezhad و همکاران (۲۰۱۳)، با هدف بررسی اثرات تغییر اقلیم بر رواناب ورودی به سد دز در دوره‌های آتی، با استفاده از مدل تصادفی تولید داده‌های اقلیمی ClimGen و مدل CGCM3 براساس دو سناریو انتشار A2 و B1 اقلیمی IHACRES که با استفاده از اطلاعات دوره پایه برای تولید کردند. سپس این داده‌ها به مدل بارش-رواناب IHACRES که با استفاده از سنجی و صحت سنجی شده بود معرفی و مقدار رواناب برای دوره ۲۰۹۱-۲۰۰۰ محاسبه گردید. نتایج حاکی از کاهش ۵۰ درصدی رواناب در منطقه سد در دوره آتی می‌باشد. Javid و Apoorva (۲۰۱۵)، مدل IHACRES را با گام زمانی روزانه برای شش حوضه در منطقه غرب کارناتا بکار برداشت و ثابت کردند که مدل IHACRES با حداقل داده‌های ورودی به خوبی می‌تواند



شکل ۱. الگوریتم روند انجام پژوهش

حوضه آبریز گاوهرود، از شرق به حوضه آبریز خرم رود، از جنوب به حوضه آبریز رودخانه مریم نگار و از غرب به زیرحوضه های عالی سیاه و گاوهرود متنه می شود. این حوضه در مختصات جغرافیایی ۳۰ درجه و ۳۲ دقیقه الی ۳۴ درجه و ۵۳ دقیقه عرض شمالی و ۴۷ درجه و ۲۲ دقیقه تا ۴۷ درجه و ۵۲ دقیقه طول شرقی در قلمرو تراست زاگرس واقع گردیده است. این محدوده در تقسیمات کشوری در استان کرمانشاه واقع می باشد. شکل ۲ موقعیت منطقه را نشان می دهد.

مدل‌ها و سناریوهای اقلیمی

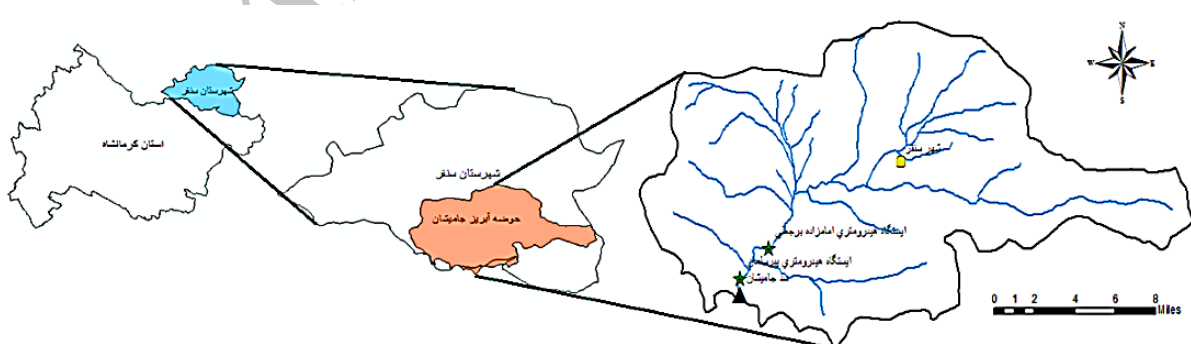
مدل‌های گردش عمومی یا AOGCM‌ها که نشان‌دهنده فرایندهای فیزیکی در اتمسفر، اقیانوس و یخچال‌ها و سطح زمین هستند در حال حاضر به عنوان پیشرفت‌ترین ابزار موجود برای شبیه‌سازی پاسخ آب و هوای جهانی به افزایش غلظت گازهای گلخانه‌ای به شمار می‌روند.

در این پژوهش برای بررسی اثر تغییر اقلیم بر آبدیهی ورودی به سد جامیشان (سنقر) در استان کرمانشاه از هفت مدل اقلیمی و دو دوره آتی و سه سناریو استفاده شد. برای کاهش اثر عدم قطعیت مدل‌های اقلیمی از روش وزن‌دهی مدل‌های اقلیمی استفاده شد. در ادامه تغییرات بارش و دما برای هر دوره و هر سناریو حاصل از مدل ترکیبی اقلیمی مشخص شده و اثرات آن در مدل بارش - رواناب مفهومی و روزانه IHACRES که به خوبی واسنجی و صحیت‌سنجی شده است، محاسبه گردید و تغییرات آبدیهی این رودخانه تعیین شد. در ادامه به منظور بررسی احتمال تواتر آبدیهی در هر یک از دوره‌ها و وضع موجود از ماتریس‌های احتمال انتقال در زنجیره مارکوف استفاده شد و مراحل این پژوهش در شکل ۱ نشان داده شده است.

مواد و روش‌ها

منطقه مورد مطالعه

محدوده حوضه آبریز سد جامیشان از شمال به



شکل ۲. موقعیت حوضه آبریز جامیشان

ریز مقیاس نمایی و تولید سناریوهای اقلیمی خروجی مدل‌های اقلیمی دقت تجزیه مکانی و زمانی مورد نیاز مدل‌های هیدرولوژیکی را ندارد، لذا لازم است که خروجی مدل‌های اقلیمی برای منطقه مورد نظر ریز مقیاس شود چندین روش برای کوچک مقیاس کردن و یا تبدیل خروجی‌های AOGCM به متغیرهای سطحی در مقیاس حوضه رودخانه توسعه یافته‌اند (قاسمی و همکاران، ۱۳۹۲). بیشترین روش‌های به کار رفته عبارت‌اند از: ۱- روش‌های نسبت و تفاوت. ۲- کوچک مقیاس کردن آماری. ۳- کوچک مقیاس کردن دینامیکی (Lane و همکاران، ۱۹۹۹). در این پژوهش به منظور کوچک مقیاس کردن مدل‌های به لحاظ مکانی از روش تناسبی که در آن متغیرهای اقلیمی شبیه‌سازی شده توسط AOGCM از اطلاعات مربوط به سلولی استخراج می‌شود که منطقه مورد نظر در آن قرار می‌گیرد، استفاده شده است. همچنین از از روش عامل تغییر (معادلات ۱ تا ۴) برای ریز مقیاس نمایی زمانی مدل‌های با استفاده از نرم افزار اکسل (EXCEL) استفاده شد.

$$\Delta T_i = \bar{T}_{GCM,Fut,i} - \bar{T}_{GCM,Base,i} \quad (1)$$

$$\Delta P_i = \left(\frac{\bar{P}_{GCM,Fut,i}}{\bar{P}_{GCM,Base,i}} \right) \quad (2)$$

$$T = T_{Obs} + \Delta T \quad (3)$$

$$P = P_{Obs} \times \Delta P \quad (4)$$

در معادله (۱) ΔT_i سناریو تغییر اقلیم مربوط به دما برای متوسط دراز مدت ۲۰ ساله برای هر ماه، $\bar{T}_{GCM,Fut,i}$ متوسط دمای ۲۰ ساله شبیه‌سازی شده توسط هر مدل AOGCM در دوره آتی (۲۰۳۹-۲۰۲۰) برای هر ماه، $\bar{T}_{GCM,Base,i}$ متوسط دمای شبیه‌سازی شده توسط هر مدل AOGCM در دوره مشاهداتی برای هر ماه است. در معادله (۲)، برای بارندگی نیز موارد فوق برقرار است. در معادله (۳)، T سری زمانی حاصل از سناریو اقلیمی دما برای دوره آتی، T_{Obs} سری زمانی دمای مشاهداتی در دوره پایه (۱۹۹۴-۲۰۱۲)، و ΔT سناریو تغییر اقلیمی

امروزه تهیه و استخراج داده‌های خروجی مدل‌های اقلیمی (در مقیاس ماهانه) از طریق مراکز مختلف تحقیقاتی، امکان‌پذیر است. یکی از معتبرترین مراکز ارائه‌دهنده این داده‌ها که در این پژوهش مورد استفاده قرار گرفته است، سایت CCCSN^۱ است که متعلق به سازمان محیط زیست کانادا می‌باشد. پیش‌بینی تولید گازهای گلخانه‌ای به‌طور گسترده‌ای در ارزیابی تغییرات اقلیمی آینده مورد استفاده قرار می‌گیرد و فرضیات اساسی آن‌ها برای ارزیابی اثرات و آسیب‌های تغییرات اقلیمی با توجه به تغییرات اجتماعی-اقتصادی، جمعیتی و فناوری می‌باشد. IPCC SRES به توصیف سناریوهای انتشار گزارش ویژه SRES، به چهار خانواده سناریو A1، A2، B1 و B2 گروه‌بندی شده‌اند که انتشار گازهای گلخانه‌ای در نتیجه عوامل جمعیتی، اقتصادی و تکنولوژی را در طیف وسیعی بررسی می‌کنند. سناریو A1، معرفی سریع فناوری‌های جدید و کارآمدتر، رشد بسیار سریع اقتصاد و جمعیت را برای جهان فرض می‌کند، و برای توصیف جایگزین‌های تکنولوژی به سه گروه تقسیم می‌شود: A1F1 ساخته‌های فسیلی، A1T منابع انرژی غیر فسیلی، A1B تعادل در تمام منابع. سناریو A2، جهانی بسیار ناهمگن با رشد جمعیت بالا، توسعه اقتصادی و تغییرات تکنولوژیکی آهسته را توصیف می‌کند. سناریو B1، توصیفی از یک جهان همگر، با همان جمعیت سناریو A1 تغییرات سریع در ساختار اقتصادی و میل به سمت خدمات و اطلاعات اقتصادی است. سناریو B2، توصیفی از یک جهان با جمعیت و رشد اقتصادی متوسط با تاکید بر راه حل‌های محلی برای پایداری اقتصادی، اجتماعی و زیست محیطی است (IPCC, 2007). در این پژوهش سه سناریو A1B و B1 در نظر گرفته شده است.

^۱ www.cccsn.ec.gc.ca

واحد به رواناب سطحی در همان گام زمانی تبدیل می‌شود (Littlewood *et al.*, 2007).

$$u_k = S_k \times r_k \\ S_k = C \times r_k + \left(1 + \frac{1}{\tau_w(t_k)}\right) S_{k-1}, S_0 = 0 \quad (6)$$

$$\tau_w(t_k) = \tau_w e^{0.062f(R-t_k)} \quad (7)$$

$$\tau_w(t_k) > 1 \quad (8)$$

$$x_k = a^q x_{k-1} + b^q u_{k-1} + a^s x_{k-1} \quad (9)$$

در این معادله‌ها S_k ، ضریب رطوبتی حوضه است. $\tau_w(t_k)$ مقدار شاخص S_k را در معادله (7) در هنگامی که بارش رخ نمی‌دهد، کنترل می‌کند که در آن R دمای مرجع، τ_w ثابت زمانی خشک شدن حوضه و f فاکتور تعديل دما است. در معادله (6) پارامتر C به گونه‌ای تعیین می‌شود که حجم بارندگی مؤثر و رواناب مشاهداتی در دوره واسنجی یکسان گردد. سپس بارندگی مؤثر توسط مدول خطی هیدروگراف معادله (9) به رواناب سطحی تبدیل خواهد شد. در معادله (9) پارامترهای s و q پارامترهای مربوط به تفکیک هیدروگراف حوضه به دو قسمت هیدروگراف سریع (q) و هیدروگراف کند (s) می‌باشند. به طورکلی، در این روش سه پارامتر τ_w ، f و C از مدول غیرخطی کاهش و سه پارامتر از چهار پارامتر a^q ، a^s ، b^q و b^s از مدول خطی هیدروگراف (معادله ۹) می‌باشد براساس داده‌های مشاهداتی برای حوضه مورد مطالعه واسنجی گردد (Jakeman, 1993).

واسنجی و ارزیابی قابلیت مدل IHACRES جهت شبیه‌سازی بارش-رواناب

به منظور بکارگیری مدل بارش-رواناب IHACRES جهت پیش‌بینی جریان رودخانه در دوره‌های آتی ابتدا با استفاده از مدل مذکور برای منطقه مورد استفاده واسنجی شده و نتایج شبیه‌سازی با استفاده از آزمون‌های آماری مورد تجزیه و تحلیل قرار گیرد، سپس با استفاده از مقادیر بارش و درجه حرارت پیش‌بینی شده توسط میانگین وزنی

کوچک مقیاس شده می‌باشد. در معادله (4) برای بارندگی نیز موارد ذکر شده برقرار است.

بررسی عدم قطعیت مدل‌های اقلیمی با روش وزن دهنی میانگین مشاهداتی دما و بارندگی (MOTP) یکی از عمده‌ترین منابع عدم قطعیت در مباحث تغییر اقلیم ناشی از بکارگیری مدل‌های مختلف AOGCM است که خروجی‌های متفاوتی را برای متغیرهای اقلیمی تولید می‌کنند. برای دخالت عدم قطعیت مدل‌های AOGCM روشن MOTP^۱ مورد استفاده قرار گرفت. در این روش میانگین ماهانه متغیرهای شبیه‌سازی شده توسط مدل در شبکه‌ای که ایستگاه هواشناسی در آن قرار دارد با مقادیر داده‌های مشاهداتی طی دوره پایه، مقایسه و براساس میزان توانمندی مدل در شبیه‌سازی مقادیر ماهانه متغیرهای هواشناسی وزن هر یک از مدل‌ها مطابق معادله (5) با استفاده از ترم افزار اکسل (EXCEL) محاسبه می‌شود (مساح و همکاران، ۱۳۸۵).

$$W_{i,j} = \frac{\frac{1}{\Delta F_{i,j}}}{\sum_{i=1}^n \frac{1}{\Delta F_{i,j}}} \quad (5)$$

در اینجا F متغیر هواشناسی مورد بررسی، ΔF اختلاف بین متغیر شبیه‌سازی شده و تحت سناریوهای مختلف با مقدار مشاهداتی در دوره پایه، W وزن شبیه‌سازی‌های هر مدل گردش عمومی جو تحت هر سناریو در ماه مورد نظر، و i و j به ترتیب نشان‌دهنده ماه و مدل گردش عمومی می‌باشند.

مدل بارش-رواناب

مدل بارش-رواناب IHACRES یک مدل مفهومی و یکپارچه است. اساس این روش از دو مدول غیرخطی کاهش و مدول خطی هیدروگراف تشکیل می‌شود. به این منظور، در ابتدا بارندگی (r_k) و دما (t_k) در هر گام زمانی k توسط مدول غیرخطی، به بارندگی مؤثر (u_k) تبدیل شده و سپس به وسیله مدول خطی هیدروگراف

^۱ Mean Observation Temperature-Precipitation

واقع، P احتمال شرطی است و بیان می‌کند که نتیجه هر فرآیند در زمان $t+1$ تنها به شرایط در زمان t بستگی دارد. فرآیندهایی که چنین خاصیتی دارند یک زنجیره مارکوف مرتبه اول نامیده می‌شوند. احتمال شرطی P_{ij} ، $P(X_{t+1} = j | X_t = i)$ ، احتمال انتقال سامانه از حالت i به j نامیده می‌شود که بصورت زیر تعریف می‌شود:

$$P = \begin{bmatrix} P_{11} & P_{12} & \cdots & P_{1n} \\ P_{21} & P_{22} & \cdots & P_{2n} \\ \vdots & \vdots & & \vdots \\ P_{n1} & P_{n2} & \cdots & P_{nn} \end{bmatrix}$$

که در آن، $N(X_t = i, X_{t+1} = j)$ تعداد انتقالات از حالت i به حالت j و $N(X_t = i)$ تعداد کل دوره‌های زمانی در حالت i می‌باشد. معمولاً P_{ij} را با آرایش مربعی $n \times n$ مرتب می‌کنند) که n تعداد دسته یا بازه برای گسته‌سازی جریان می‌باشد) و نتیجه آن ماتریس مربع P است که ماتریس احتمال انتقال زنجیره مارکوف نامیده می‌شود:

$$P_{ij} = P(X_{t+1} = j | X_t = i) \quad (15) \\ = \frac{N(X_t = i, X_{t+1} = j)}{N(X_t = i)}$$

در ماتریس P ، احتمال ورود جریان از حالت i به حالت j بزرگتر یا مساوی صفر می‌باشد(برای هر $j \in E$ ، $P_{ij} \geq 0$ است) و مجموع احتمالات هر سطر باید برابر صفر یا یک باشد یعنی برای هر $E \in \mathbb{A}$ $\sum_{j=1}^n P_{ij} = 1$ یا $\sum_{i=1}^n P_{ij} = 0$ است. ابتدا با استی این روش زنجیره گسته سازی شود که از روش طول بازه‌های مساوی انجام شده و فراوانی هر بازه از طریق شمارش تعداد مقادیری که بین حدود بالا و پایین آن بازه قرار دارند، تعیین می‌شود. حال، برای به دست آوردن احتمالات انتقال بین بازه‌های مختلف، تعداد انتقال‌ها از هر بازه در هر دوره زمانی به هر بازه در دوره زمانی بعدی تعیین شده و براساس کل حالات هر بازه در هر دوره زمانی، احتمال وقوع انتقال‌ها محاسبه می‌شود (آشفته و بزرگ حداد ۱۳۹۴).

مدل‌های اقلیمی برای دوره‌های آتی جریان رودخانه دوره‌های مذکور تحت سناریوهای مختلف پیش‌بینی شود.

معیارهای ارزیابی

به منظور بررسی توانایی مدل‌های استفاده شده در این پژوهش در شبیه‌سازی پارامترها، از معیارهای ضریب همبستگی (R)، معادله (۱۰)، جذر میانگین مربعات خطای (RMSE) معادله (۱۱)، میانگین خطای مطلق (MAE) معادله (۱۲) و معیار ناش ساتکلیف (NSE) معادله (۱۳) استفاده شد.

$$R = \frac{\text{Cov}(x_{i(OBS)}, \hat{x}_i)}{\sqrt{\text{var}(x_{i(OBS)}) \times \text{var}(\hat{x}_i)}} \quad (10)$$

$$\text{RMSE} = \sqrt{\frac{\sum_{i=1}^n (x_{i(OBS)} - \hat{x}_i)^2}{n}} \quad (11)$$

$$\text{MAE} = \frac{\sum_{i=1}^n |x_{i(OBS)} - \hat{x}_i|}{n} \quad (12)$$

$$\text{NSE} = 1 - \frac{\sum_{i=1}^n (x_{i(OBS)} - \hat{x}_i)^2}{\sum_{i=1}^n (x_{i(OBS)} - \bar{x}_{OBS})^2} \quad (13)$$

در روابط (۱۰) تا (۱۳)، $X_{i(OBS)}$ مقدار مشاهداتی پارامتر در ماه i مقدار شبیه‌سازی شده پارامتر توسط مدل در ماه i $\hat{x}_{i(OBS)}$ میانگین مقادیر مشاهداتی پارامتر در کل دوره.

بررسی تواتر آبدهی‌های مشاهداتی و پیش‌بینی شده با مدل زنجیره مارکوف

زنジره مارکوف حالت خاصی از مدل‌هایی است که در آنها حالت فعلی یک سیستم به حالت‌های قبلی آن بستگی دارد. با این روش می‌توان احتمال وقوع و دوره‌ی بازگشت پدیده‌هایی نظیر دبی را محاسبه نمود.

ماتریس احتمال انتقال

فرآیند تصادفی $[X_t, t \in N] = X$ یک زنجیره مارکوف نامیده می‌شود، اگر برای هر $t \in N$ شرط زیر صادق باشد:

$$P(X_{t+1} = j | X_0, X_1, X_2, \dots, X_t) = P(X_{t+1} = j | X_t) \quad (14)$$

عبارت بالا بیانگر احتمال وجود جریان در زمان $t+1$ در حالت j است، به شرط اینکه در زمان t حالت سامانه مشخص و حالت‌های رخداده قبلی نیز مشخص باشد. در

جدول ۱. مشخصات ایستگاههای منطقه

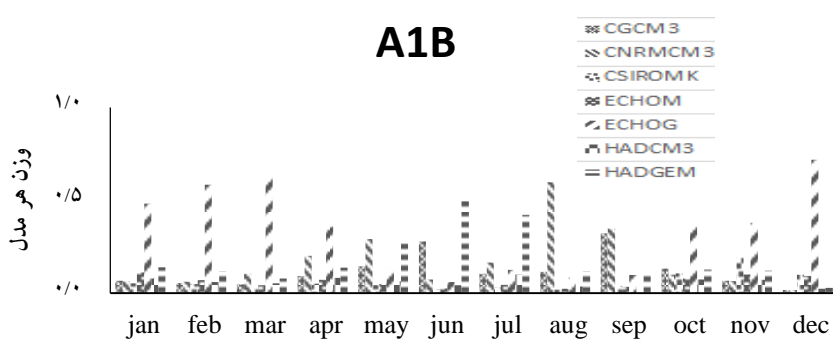
نام ایستگاه	نوع ایستگاه	پارامتر	ارتفاع از سطح (درجه و دقیقه)	عرض جغرافیایی (درجه و دقیقه)	طول جغرافیایی دریا (متر)
سنقر	کلیماتولوژی	دما	۳۵ و ۴۷	۴۷ و ۳۴	۱۶۸۰
پیرسلمان	هیدرومتری	بارش و دبی	۲۷ و ۴۷	۴۳ و ۳۴	۱۵۳۰
حسنآباد	بارانسنجی	بارش	۲۵ و ۴۷	۳۸ و ۳۴	۱۴۲۰
سطر	بارانسنجی	بارش	۲۸ و ۴۷	۶۹ و ۳۴	۱۸۱۰
سنگسفید	بارانسنجی	بارش	۱۱ و ۴۷	۴۶ و ۳۴	۲۰۳۰
سورناباد	بارانسنجی	بارش	۲۸ و ۴۷	۵۵ و ۳۴	۱۷۸۰
فارسینج	بارانسنجی	بارش	۴۴ و ۴۷	۴۲ و ۳۴	۱۷۶۰
مرزبانی	بارانسنجی	بارش	۰۵ و ۴۷	۴۲ و ۳۴	۱۶۵۰

AOGCM خروجی مدل‌های

ابتدا خروجی هر یک از مدل‌های ۷ گانه تحت هریک از سناریوها (A1B و A2 و B1) در دوره پایه با داده‌های مشاهداتی مورد مقایسه قرار گرفته و براساس محاسبه معیارهای خطأ، اکثر مدل‌ها، شبیه‌سازی قابل قبولی را انجام داده‌اند، به منظور کاهش عدم قطعیت خروجی مدل‌های مختلف به ازای هر سناریو مدل‌ها وزن‌دهی شده و میانگین‌گیری انجام شد که نتایج نشان داد میانگین وزنی، شبیه‌سازی بهتری از پارامترها در دوره پایه را ارائه می‌کند. نتایج معیارهای خطأ به تفکیک مدل و سناریو برای پارامترهای بارش و دما در جداول ۲ و ۳ آورده شده است. وزن هر یک از مدل‌ها برای هر سه سناریو محاسبه شده و به دلیل محدودیت صفحات فقط نتایج سناریوی A1B در شکل ۳ و ۴ برای پارامترهای بارش و دما نشان داده شده است.

نتایج و بحث**انتخاب ایستگاه**

پس از بررسی ایستگاه‌ها به لحاظ طول دوره آماری ایستگاه کلیماتولوژی سنقر به عنوان ایستگاه مبنای برای پارامتر دما و ۷ ایستگاه بارانسنجی برای پارامتر بارش و ایستگاه هیدرومتری پیرسلمان برای پارامتر دبی انتخاب شد. از آنجایی که منطقه مورد مطالعه کوهستانی می‌باشد، سعی شده است از ایستگاه‌هایی برای پارامتر بارش استفاده شود که ارتفاعات مختلف منطقه را پوشش دهند و در نهایت میانگین بارش ایستگاه‌های بارانسنجی به عنوان بارش منطقه درنظر گرفته شد. مشخصات ایستگاه‌های مذکور در جدول ۱ آورده شده‌است. پس از تکمیل نوادرس آماری، دوره ۱۹۹۹-۲۰۱۱ میلادی به عنوان دوره مشترک انتخاب شد.



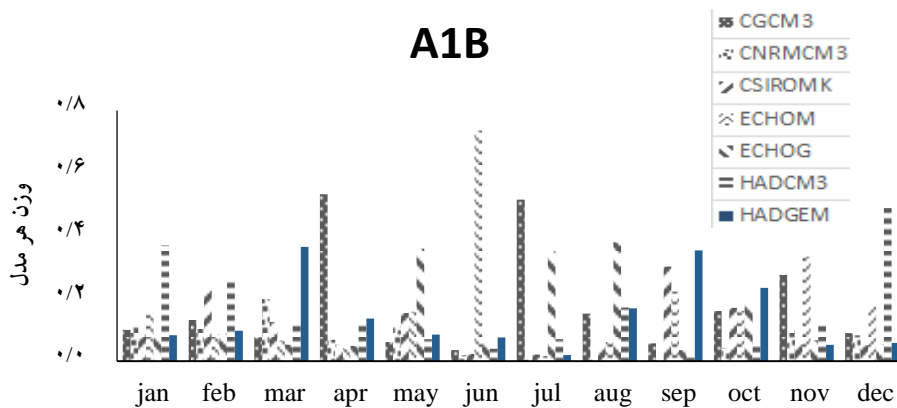
شکل ۳. وزن هریک از مدل‌ها تحت سناریوی A1B برای پارامتر دما

جدول ۲. معیارهای خطای تفکیک مدل و سناریو برای پارامتر دما

NSE	R	MAE	RMSE	میانگین	مشاهداتی	
					۱۲/۶۴	
۰/۸۷	۰/۹۱	۲/۵۷	۲/۸۵	۱۰/۷۴	CGCM3T47	A1B
۰/۸۹	۰/۹۱	۲/۲۴	۲/۶۲	۱۱/۱۸	CNRMCM3	
۰/۵۸	۰/۹۱	۴/۷۷	۵/۲۲	۱۷/۳۵	CSIROMK3.5	
۰/۷۱	۰/۹۱	۴/۰۲	۴/۳۴	۱۶/۶۳	ECHOM5OM	
۰/۹۷	۰/۹۲	۱/۱۰	۱/۴۲	۱۳/۶۰	ECHO-G	
۰/۸۰	۰/۹۱	۳/۰۵	۳/۶۲	۹/۰۲	HADCM3	
۰/۹۵	۰/۹۱	۱/۶۳	۱/۷۹	۱۱/۰۲	HADGEM1	
۱/۰۰	۰/۹۲	۰/۴۲	۰/۴۷	۱۲/۶۱	مدل ترکیبی	
۰/۸۸	۰/۹۱	۲/۰۳	۲/۷۸	۱۰/۸۳	CGCM3T47	
۰/۸۹	۰/۹۱	۲/۲۸	۲/۷۱	۱۱/۱۹	CNRMCM3	
۰/۵۷	۰/۹۰	۴/۷۵	۵/۲۹	۱۷/۴۴	CSIROMK3.5	A2
۰/۷۰	۰/۹۱	۴/۰۱	۴/۳۶	۱۶/۶۲	ECHOM5OM	
۰/۹۸	۰/۹۲	۱/۰۲	۱/۲۴	۱۳/۵۱	ECHO-G	
۰/۸۱	۰/۹۱	۳/۳۵	۳/۴۷	۹/۲۰	HADCM3	
۰/۹۶	۰/۹۱	۱/۵۰	۱/۶۷	۱۱/۱۵	HADGEM1	
۱/۰۰	۰/۹۲	۰/۳۹	۰/۴۴	۱۲/۶۲	مدل ترکیبی	
۰/۸۸	۰/۹۱	۲/۰۳	۲/۷۸	۱۰/۷۹	CGCM3T47	
۰/۸۸	۰/۹۱	۲/۳۲	۲/۷۴	۱۱/۱۴	CNRMCM3	
۰/۵۷	۰/۹۱	۴/۷۸	۵/۲۷	۱۷/۳۶	CSIROMK3.5	
۰/۷۰	۰/۹۱	۴/۰۹	۴/۴۰	۱۶/۷۰	ECHOM5OM	B1
۰/۹۸	۰/۹۲	۰/۹۸	۱/۲۴	۱۳/۴۹	ECHO-G	
۰/۸۱	۰/۹۱	۳/۳۴	۳/۴۷	۹/۲۰	HADCM3	
۰/۹۹	۰/۹۲	۰/۰۹	۰/۷۶	۱۲/۹۱	مدل ترکیبی	

بیشترین کاهش بارش در فصل زمستان با کاهش ۲۴/۲-درصدی خواهد بود. تحت سناریو A2، تغییرات بارش از ۷۹/۱-درصد در ماه نوامبر تا ۲۱۷+درصد در ماه زوئیه مورد انتظار است. بارش در فصول پاییز و زمستان به ترتیب کاهش ۲۰/۵ و ۱/۴ درصدی و طی فصول بهار و تابستان به ترتیب افزایش ۲۴/۹ و ۶۲/۹ درصدی خواهد داشت.

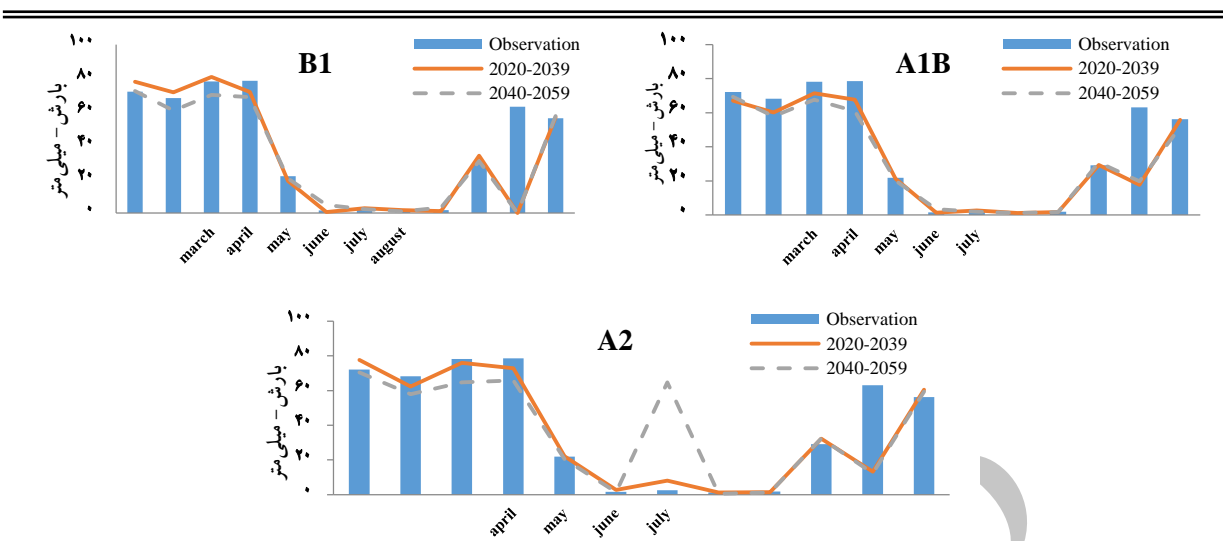
نتایج نشان داد مدل اقلیمی HADCM3 بیشترین وزن و مدل CNRMCM3 کمترین وزن را دارا می‌باشدند. مقادیر بارش مشاهداتی و آتی برای هر سناریو در شکل ۵ آورده شده‌است. همانطور که ملاحظه می‌شود، در دوره ۲۰۲۰-۲۰۳۹، سناریو A1B، تغییرات بارش از ۷۲-درصد در ماه نوامبر تا ۲/۹+درصد در ماه زوئیه را پیش‌بینی می‌کند. بارش طی همه فصول کاهشی بوده و



شکل ۴. وزن هریک از مدل‌ها تحت سناریوی A1B برای پارامتر بارش

جدول ۳. معیارهای خطای تفکیک مدل و سناریو برای پارامتر بارش

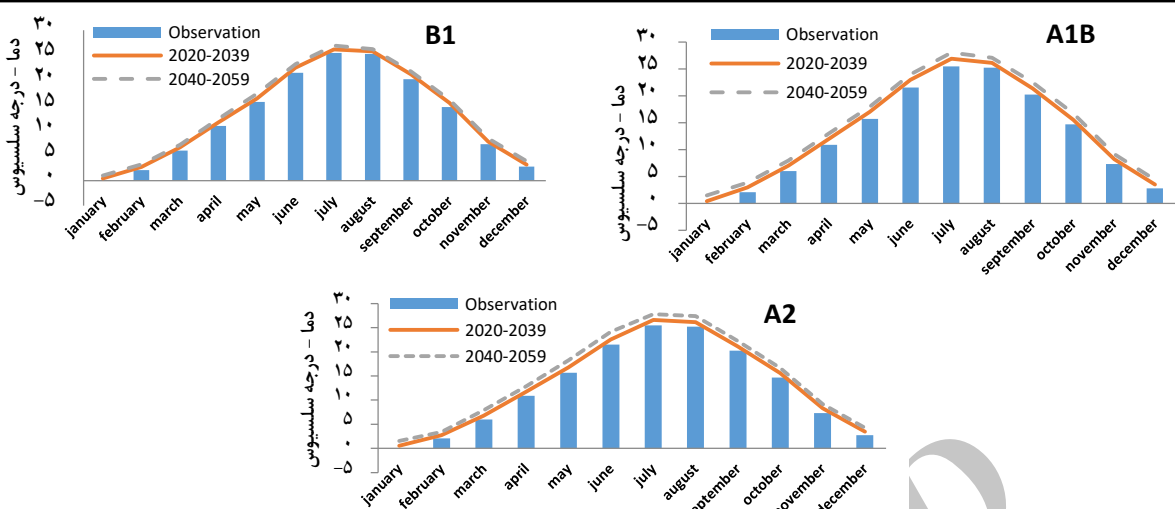
NSE	R	MAE	RMSE	میانگین	مشاهداتی
A1B	۰/۳۷	۰/۴۱	۰/۷۰	۰/۶۵	۳۱/۰۴ CGCM3T47
	-۰/۰۲	۰/۰۳	۰/۵۵	۰/۹۳	۳۶/۰۰ CNRMCM3
	۰/۱۱	۰/۱۶	۰/۷۰	۰/۸۰	۲۳/۷۳ CSIROMK3.5
	۰/۲۲	۰/۲۸	۰/۷۸	۰/۷۱	۲۰/۳۹ ECHOM5OM
	۰/۰۹	۰/۱۶	۰/۸۳	۰/۷۹	۲۰/۱۵ ECHO-G
	۰/۳۳	۰/۴۰	۰/۷۷	۰/۵۳	۴۸/۲۷ HADCM3
	۰/۲۴	۰/۳۲	۰/۶۸	۰/۶۶	۳۰/۰۶ HADGEM1
	۰/۷۷	۰/۷۷	۰/۸۰	۰/۳۷	۳۱/۹۲ مدل ترکیبی
A2	۰/۷۳	۰/۳۹	۰/۴۵	۰/۷۰	۳۱/۱۳ CGCM3T47
	۰/۸۱	۰/۰۱	۰/۱۰	۰/۶۱	۳۰/۹۲ CNRMCM3
	۰/۸۱	۰/۱۴	۰/۲۳	۰/۷۲	۲۳/۷۷ CSIROMK3.5
	۰/۷۹	۰/۲۵	۰/۳۲	۰/۷۶	۲۰/۰۰ ECHOM5OM
	۰/۸۱	۰/۱۳	۰/۲۴	۰/۸۲	۲۲/۲۴ ECHO-G
	۰/۰۹	۰/۳۷	۰/۵۰	۰/۷۵	۴۵/۸۷ HADCM3
	۰/۷۶	۰/۲۸	۰/۳۵	۰/۷۸	۳۱/۲۰ HADGEM1
	۰/۰۶	۰/۷۷	۰/۷۶	۰/۷۳	۳۱/۸۵ مدل ترکیبی
B1	۰/۶۱	۰/۰۶	۰/۴۱	۰/۵۰	۳۱/۴۸ CGCM3T47
	۰/۸۴	۰/۰۳	۰/۰۴	۰/۲۱	۳۳/۳۲ CNRMCM3
	۰/۷۴	۰/۰۴	۰/۱۷	۰/۳۴	۲۰/۱۹ CSIROMK3.5
	۰/۶۸	۰/۰۶	۰/۲۷	۰/۴۳	۲۰/۲۱ ECHOM5OM
	۰/۷۴	۰/۰۳	۰/۱۷	۰/۳۹	۲۱/۷۳ ECHO-G
	۰/۰۴	۰/۰۱	۰/۴۱	۰/۵۰	۵۱/۶۹ HADCM3
	۰/۶۶	۰/۰۶	۰/۳۰	۰/۴۰	۳۲/۱۳ مدل ترکیبی



شکل ۵. مقادیر پیش‌بینی شده بارش آتی تحت هر سناریو

جدول ۴. تغییرات بارش به تفکیک مدل تحت سناریو A1B

دوره	ماه	CGCM3	CNRMCM3	CSIROMK3/5	ECHOM5OM	ECHO-G	HADCM3	HADGEM	مدل ترکیبی
	ژانویه	۲/۴	-۱۷/۹	-۰/۳	-۱۹/۵	-۶/۹	۱/۷	-۱/۳	-۵/۱
	فوریه	۷/۳	-۱۳/۲	-۱۲/۹	۱/۲	۰/۶	-۱۶/۱	-۵/۸	-۸/۱
	مارس	۵/۲	-۱۲/۴	-۲۴/۷	-۹/۱	۶/۳	-۴/۳	-۵/۴	-۶/۸
	آوریل	-۱۲/۵	-۳۰/۵	۲۶/۸	-۱۵/۶	-۲/۸	-۱۵/۹	-۸/۹	-۱۰/۸
	مای	-۱/۸	۴/۴	۴/۹	-۱۳/۲	-۱/۲	-۳/۰	۰/۳	-۰/۶
-۲۰۲۰	ژوئن	-۰/۳	۰/۵	۰/۳	-۰/۱	-۰/۱	-۰/۱	-۰/۶	-۰/۲
۲۰۳۹	ژوئیه	-۰/۵	-۱/۴	-۱/۱	-۲/۵	۲/۱	-۱/۲	-۰/۱	۰/۱
	آگوست	۰/۱	-۰/۹	۰/۹	-۰/۷	۰/۶	-۰/۷	-۰/۵	-۰/۱
	سپتامبر	-۰/۲	-۱/۱	-۱/۰	۳/۱	-۰/۱	-۰/۲	-۰/۷	-۰/۱
	اکتبر	-۳/۸	-۱۰/۸	۴/۴	۲۷/۲	۶/۹	۶/۴	-۱۵/۳	۰/۱
	نوامبر	۱۰/۸	-۶۳/۱	-۶۳/۱	-۶۳/۱	-۶۳/۱	-۶۳/۱	-۶۳/۱	-۴۵/۴
	دسامبر	-۲/۵	-۲/۶	۲/۷	-۱/۵	۴/۶	۱/۲	-۹/۷	-۰/۵
	ژانویه	۰/۵	-۷/۶	-۲۸/۱	-۱۵/۳	-۹/۹	۱۵/۰	-۱۷/۳	-۲/۹
	فوریه	-۲/۴	-۰/۲	-۲۲/۲	-۷/۴	-۵/۸	-۱۲/۹	۹/۳	-۱۰/۲
	مارس	-۶/۵	۱۶/۶	-۱۴/۶	-۳۲/۳	۶/۳	-۱/۸	-۳۰/۲	-۱۰/۵
	آوریل	-۱۵/۱	-۱۹/۰	۳۳/۲	-۱۵/۳	-۰/۷	-۲۰/۲	-۳۲/۰	-۱۷/۵
	مای	-۰/۸	۵/۱	۳/۵	-۱۳/۷	-۲/۱	-۷/۴	-۴/۰	-۱/۸
-۲۰۴۰	ژوئن	-۰/۵	۰/۷	۰/۴	۴/۵	-۰/۶	-۰/۶	-۰/۶	۱/۸
۲۰۵۹	ژوئیه	-۰/۶	-۰/۵	-۲/۲	-۲/۵	۰/۱	-۱/۷	۰/۶	-۰/۶
	آگوست	-۰/۱	-۰/۴	-۰/۲	۶/۹	-۰/۸	-۰/۸	-۱/۰	-۰/۱
	سپتامبر	-۰/۲	-۰/۵	-۰/۸	۰/۸	-۰/۲	-۰/۱	-۰/۲	-۰/۲
	اکتبر	-۳/۳	-۱۰/۶	۱۲/۶	۴۶/۷	۱/۸	-۸/۲	-۱۲/۴	۱/۷
	نوامبر	۱۹/۲	-۶۳/۱	-۶۳/۱	-۶۳/۱	-۶۳/۱	-۶۳/۱	-۶۳/۱	-۴۳/۴
	دسامبر	۵/۶	-۱۷/۳	-۱۵/۷	-۲/۵	۱/۶	-۱/۳	-۲۴/۱	-۴/۹



شکل ۶. دماهی پیش‌بینی شده دوره آتی در هر سناریو

جدول ۵. تغییرات بارش به تفکیک مدل تحت سناریو A2

دوره	ماه	CGCCM3	CNRMCM3	CSIROMK3/5	ECHOM5OM	ECHO-G	HADCM3	HADGEM	مدل ترکیبی
	ژانویه	۹/۵	۳/۸	۲۴/۷	۱۰/۳	۳/۳	-۶/۷	۱۵/۳	۵/۴
	فوریه	-۰/۱	۴۹/۵	-۳۴/۱	۳/۶	-۴/۷	-۱۳/۲	۰/۲	-۶/۰
	مارس	-۶/۸	۴۲/۴	۷/۸	۱/۷	-۲/۷	۰/۱	-۱۹/۲	-۲/۳
	آوریل	-۴/۱	-۸/۰	۴۷/۷	۱۷/۶	۱/۸	-۸/۸	-۱۶/۰	-۵/۶
	می	-۰/۲	۱۱/۰	۱/۲	-۹/۲	-۴/۴	-۴/۲	-۰/۴	۰/۳
-۲۰۲۰	ژوئن	-۰/۱	۰/۸	۰/۴	۲/۷	-۰/۴	-۰/۵	-۰/۳	۰/۵
۲۰۳۹	ژوئیه	-۰/۶	-۰/۴	-۰/۹	۱۵/۹	-۰/۳	-۱/۱	-۰/۷	۵/۵
	آگوست	-۰/۲	-۰/۵	-۱/۰	-۱/۲	۰/۸	-۰/۲	۰/۰	-۰/۱
	سپتامبر	۰/۱	-۰/۲	-۱/۴	۱/۵	-۱/۱	-۰/۳	-۱/۱	-۰/۴
	اکتبر	۱/۹	۱۴/۱	-۱۵/۳	۱۳/۳	۴/۱	۷/۸	-۵/۷	۳/۰
	نوامبر	۸/۰	-۶۳/۱	-۶۳/۱	-۶۳/۱	-۶۳/۱	-۶۳/۱	-۹/۴	-۴۹/۹
	دسامبر	۴/۳	۱۲/۸	۲۰/۹	۲۵/۴	-۱۰/۶	-۷/۱	-۱۹/۴	۴/۲
	ژانویه	۲/۰	۴/۱	-۶/۴	-۵/۶	-۹/۳	۳/۰	۰/۲	-۱/۷
	فوریه	۰/۵	-۱/۲	-۳۶/۰	-۱۸/۴	-۱۳/۷	۷/۹	-۱۹/۹	-۱۰/۴
	مارس	-۱۱/۸	-۲/۳	-۱۶/۸	-۱۸/۰	-۵/۲	-۹/۱	-۲۸/۴	-۱۳/۵
	آوریل	-۱۹/۷	-۳۰/۷	-۷/۶	۱۸/۶	۵/۸	-۱۴/۷	-۱۶/۵	-۱۲/۶
	می	-۵/۰	۴/۰	۳/۳	-۰/۵	-۵/۰	-۸/۱	-۱۱/۳	-۱/۴
-۲۰۴۰	ژوئن	-۰/۵	۰/۷	۱/۷	-۰/۴	-۰/۹	-۰/۸	-۰/۳	۰/۰
۲۰۵۹	ژوئیه	-۱/۰	-۰/۴	-۲/۲	۱۱۵۶/۸	۰/۷	-۱/۷	-۱/۳	۶۲/۱
	آگوست	-۰/۲	-۰/۷	-۱/۰	-۱/۱	-۱/۰	-۰/۴	-۰/۸	-۰/۸
	سپتامبر	۰/۳	-۰/۶	-۱/۷	۱/۲	-۰/۷	-۰/۷	-۱/۶	-۰/۶
	اکتبر	-۰/۲	۳/۳	-۲/۳	۲۱/۶	۴/۵	۲/۹	۱/۸	۳/۳
	نوامبر	-۴/۲	-۶۳/۱	-۶۳/۱	-۶۳/۱	-۶۳/۱	-۶۳/۱	۲/۱	-۵/۰/۸
	دسامبر	۵/۳	۱۱/۹	۳۲/۰	۲/۲	-۱۱/۲	-۵/۰	-۵/۴	۳/۰

جدول ۶. تغییرات بارش به تفکیک مدل تحت سناریو B1

دوره	ماه	CGCCM3	CNRMCM3	CSIROMK3/5	ECHOM5OM	ECHO-G	HADCM3	مدل ترکیبی
-۲۰۲۰	ژانویه	-۳/۴	۲۸/۴	۲۴/۸	-۴/۲	۱۰/۲	۲/۱	۵/۷
	فوریه	-۳/۵	-۳/۵	۵۲/۵	۱۱/۴	-۳/۸	-۰/۷	۳/۴
	مارس	-۸/۳	-۱۵/۵	۳۹/۵	۲۰/۵	۳/۵	-۰/۱	۲/۷
	آوریل	-۱۰/۳	-۱۸/۹	۱۱/۶	۱۸/۵	۷/۵	-۱۰/۷	-۶/۶
	می	-۲/۷	۴/۵	۲/۵	-۱۸/۳	-۲/۱	-۳/۹	-۲/۸
	ژوئن	-۰/۲	۰/۳	-۰/۳	-۱/۳	-۰/۲	-۰/۱	-۰/۸
	ژوئیه	-۰/۷	۰/۲	۵/۳	۹/۰	-۰/۵	۰/۶	۰/۵
	آگوست	۰/۱	-۰/۵	-۰/۲	۲/۸	۱/۳	-۰/۲	۰/۵
	سپتامبر	-۰/۶	-۰/۸	-۱/۶	۰/۰	-۰/۶	-۰/۳	-۰/۶
	اکتبر	-۱/۶	۶/۰	-۵/۷	۱۲/۴	۷/۰	-۴/۱	۵/۰
	نوامبر	-۶۳/۱	-۶۳/۱	-۶۳/۱	-۶۳/۱	-۶۳/۱	-۶۳/۱	-۶۳/۱
	دسامبر	-۱/۶	۱۰/۱	-۹/۰	-۰/۷	۴/۹	۱/۶	۰/۵
۲۰۵۹	ژانویه	-۰/۴	-۱۰/۵	-۱۱/۳	۷/۶	۲/۸	۲/۲	۰/۴
	فوریه	-۵/۷	-۲۴/۴	۱۲/۶	۱۴/۵	۴/۱	-۱۲/۴	-۷/۳
	مارس	-۵/۳	-۱۲/۵	۸/۸	-۱۱/۷	-۳/۸	-۱۲/۴	-۸/۰
	آوریل	-۷/۳	-۲۱/۵	۳۶/۸	۱/۵	-۱۰/۵	-۲۰/۶	-۹/۷
	می	-۱/۹	-۰/۲	۱۸/۵	-۱۰/۹	-۸/۲	-۹/۲	-۱/۲
	ژوئن	-۰/۴	۰/۳	۰/۱	۶/۳	-۰/۵	-۰/۵	۳/۳
	ژوئیه	-۱/۲	-۰/۶	۱۵/۷	-۲/۵	-۰/۵	-۱/۲	-۰/۲
	آگوست	-۰/۳	-۰/۴	-۰/۴	-۱/۲	-۰/۱	۰/۶	-۰/۲
	سپتامبر	-۰/۴	-۰/۶	-۱/۷	۹/۹	-۰/۱	۰/۱	۱/۵
	اکتبر	-۸/۶	-۷/۲	۳۷/۸	۹/۲	۴/۶	-۶/۸	۱/۶
	نوامبر	-۶۳/۱	-۶۳/۱	-۶۳/۱	-۶۳/۱	-۶۳/۱	-۶۳/۱	-۶۳/۱
	دسامبر	۴/۹	۱۲/۰	-۲۳/۱	۳/۷	-۳/۲	۳/۶	۱/۳

منتظر پیش‌بینی رواناب آینده، بارش و دمای پیش‌بینی شده توسط هر سناریو برای هر دوره آتی به مدل داده شده و رواناب آینده پیش‌بینی شد. رواناب پیش‌بینی شده برای هر دوره تحت هر سناریو در شکل ۸ آمده است.

پس از واسنجی و صحبت‌سنگی مدل و محاسبه معیارهای خطا، مشخص شد که مدل IHACRES از توانایی لازم برای شبیه‌سازی رواناب منطقه در مقیاس روزانه و ماهانه برخوردار است. دقت مدل برای داده‌های روزانه بیشتر از داده‌های ماهانه می‌باشد. در گام بعدی به

جدول ۷. تغییرات دما به تفکیک مدل تحت سناریو A1B

دوره	ماه	CGCM3	CNRMCM	CSIROMK3/5	ECHOM5OM	ECHO-G	HADCM3	HADGEM	مدل ترکیبی
۲۰۲۰	ژانویه	۰/۹	-۰/۹	-۰/۱	۰/۶	۰/۴	۱/۲	۰/۸	۰/۵
	فوریه	۰/۷	-۰/۴	۰/۹	۰/۹	۱/۰	۱/۱	۱/۰	۰/۹
	مارس	۰/۸	۰/۷	۰/۷	۱/۱	۱/۱	۰/۶	۱/۲	۱/۰
	آوریل	۱/۱	۲/۰	۰/۲	۱/۳	۰/۷	۰/۶	۱/۴	۱/۱
	می	۱/۳	۱/۵	۰/۴	۱/۰	۰/۶	۱/۳	۱/۸	۱/۳
	ژوئن	۱/۶	۰/۷	۱/۲	۱/۰	۱/۰	۲/۴	۱/۵	۰/۲۵
	ژوئیه	۱/۲	۱/۰	۰/۷	۱/۳	۱/۴	۲/۱	۱/۵	۰/۲۵
	آگوست	۱/۰	۰/۷	۱/۲	۱/۰	۱/۰	۱/۵	۱/۰	۰/۹
	سپتامبر	۱/۲	۱/۱	۱/۰	۰/۶	۰/۹	۲/۴	۱/۳	۰/۵
	اکتبر	۰/۹	۱/۳	۱/۰	۰/۴	۰/۸	۰/۷	۱/۰	۰/۹
	نوامبر	۰/۹	۰/۲	۰/۸	۱/۰	۱/۱	۰/۲	۱/۱	۰/۹
	دسامبر	۰/۴	-۰/۶	۱/۰	۰/۹	۰/۷	-۰/۱	۰/۸	۰/۷
۲۰۳۰	ژانویه	۱/۵	۱/۱	۰/۸	۱/۶	۱/۵	۲/۱	۱/۹	۱/۵
	فوریه	۱/۶	۱/۶	۲/۳	۱/۶	۱/۹	۱/۷	۱/۴	۱/۸
	مارس	۱/۸	۱/۰	۲/۰	۲/۱	۲/۱	۱/۹	۲/۲	۲/۰
	آوریل	۱/۸	۲/۹	۰/۷	۲/۳	۱/۷	۱/۷	۳/۲	۲/۱
	می	۲/۰	۱/۸	۱/۵	۲/۴	۱/۵	۳/۱	۳/۳	۲/۳
	ژوئن	۲/۶	۱/۵	۱/۲	۲/۱	۲/۳	۴/۷	۲/۵	۲/۵
	ژوئیه	۲/۱	۱/۸	۱/۸	۲/۵	۲/۷	۳/۴	۲/۷	۲/۵
	آگوست	۲/۰	۱/۵	۲/۴	۲/۵	۲/۵	۳/۱	۲/۲	۱/۸
	سپتامبر	۲/۱	۲/۲	۲/۷	۲/۱	۲/۴	۳/۲	۲/۴	۲/۳
	اکتبر	۱/۸	۲/۱	۲/۵	۱/۷	۲/۱	۱/۷	۲/۱	۲/۰
	نوامبر	۲/۰	۰/۸	۲/۱	۱/۹	۲/۱	۱/۲	۱/۸	۱/۹
	دسامبر	۱/۰	۰/۳	۱/۹	۱/۷	۱/۶	۱/۵	۱/۵	۱/۶

IHACRES جدول ۱۱ مقادیر معیارهای ارزیابی مدل و شکل ۷ سری بلند مدت جریان دوره واسنجی و صحت‌سنجی مدل را نشان می‌دهند. مقایسه حجم جریان مشاهداتی و شبیه‌سازی شده در دوره واسنجی و صحت‌سنجی در جدول ۱۲ آمده است.

واسنجی و ارزیابی قابلیت مدل IHACRES جهت شبیه‌سازی بارش-رواناب از کل ۱۳ سال دوره مشاهداتی (۱۹۹۹-۲۰۱۱ میلادی)، از ۸ سال نخست برای واسنجی و ۵ سال دیگر جهت صحت‌سنجی مدل برای منطقه استفاده شد. جدول ۱۰ مقادیر واسنجی شده پارامترهای مدل

جدول ۸ تغییرات دما به تفکیک مدل تحت سناریو A2

دوره	ماه	CGCM3	CNRMCM3	CSIROMK3/5	ECHOM5OM	ECHO-G	HADCM3	HADGEM	مدل ترکیبی
-۲۰۲۰	ژانویه	۰/۴	۱/۱	۰/۸	۰/۶	۰/۵	۰/۲	۱/۲	۰/۶
	فوریه	۰/۴	۰/۷	۰/۴	۰/۴	۰/۸	۰/۳	۰/۳	۰/۶
	مارس	۰/۸	-۰/۱	-۰/۲	۰/۴	۰/۹	۱/۲	۰/۳	۰/۸
	آوریل	۰/۸	۰/۷	-۰/۹	۰/۴	۱/۱	۰/۹	۱/۳	۰/۹
	می	۰/۹	۰/۵	۰/۶	۰/۴	۱/۱	۱/۶	۱/۹	۱/۱
	ژوئن	۰/۹	۰/۲	۰/۳	۰/۸	۱/۵	۱/۹	۱/۱	۱/۰
	ژوئیه	۱/۲	۰/۴	۰/۷	۰/۶	۱/۲	۱/۱	۱/۴	۱/۱
	آگوست	۱/۱	۰/۸	۱/۶	۰/۶	۰/۹	۰/۸	۱/۴	۰/۹
	سپتامبر	۰/۹	۰/۷	۰/۵	۱/۰	۱/۰	۱/۳	۱/۶	۰/۹
	اکتبر	۱/۰	۰/۶	۱/۱	۰/۴	۰/۹	۱/۹	۱/۱	۱/۰
	نوامبر	۱/۰	۱/۱	۱/۴	۰/۶	۰/۸	۰/۹	۱/۱	۱/۰
	دسامبر	۰/۵	۱/۴	۰/۲	۰/۹	۰/۷	۰/۵	۱/۰	۰/۷
-۲۰۳۹	ژانویه	۱/۳	۱/۲	۱/۲	۱/۵	۱/۶	۱/۲	۲/۷	۱/۶
	فوریه	۱/۳	۰/۵	۱/۵	۱/۵	۱/۴	۰/۸	۱/۶	۰/۲۵
	مارس	۱/۶	۱/۲	۱/۱	۱/۲	۲/۱	۱/۲	۱/۴	۱/۹
	آوریل	۲/۴	۳/۰	۱/۰	۱/۳	۱/۶	۱/۱	۲/۰	۲/۰
	می	۲/۷	۲/۲	۱/۸	۱/۸	۲/۱	۲/۶	۳/۶	۲/۶
	ژوئن	۳/۱	۱/۰	۰/۵	۱/۹	۲/۸	۳/۴	۲/۷	۲/۶
	ژوئیه	۲/۵	۱/۵	۱/۹	۲/۰	۲/۶	۲/۵	۲/۴	۲/۳
	آگوست	۲/۲	۲/۰	۲/۵	۲/۰	۲/۲	۲/۸	۲/۲	۲/۱
	سپتامبر	۲/۲	۱/۷	۲/۵	۲/۰	۲/۵	۲/۷	۲/۲	۲/۰
	اکتبر	۲/۱	۱/۳	۲/۵	۱/۶	۲/۱	۲/۵	۱/۹	۲/۰
	نوامبر	۱/۹	۱/۲	۲/۶	۱/۴	۱/۷	۱/۰	۲/۱	۱/۹
	دسامبر	۱/۰	۱/۲	۱/۳	۱/۹	۱/۵	۰/۳	۱/۷	۱/۵

نشان می‌دهد طی ماههای نوامبر تا فوریه افزایش دبی و در سایر ماهها کاهش دبی اتفاق می‌افتد.

احتمال تواتر دبی با استفاده از زنجیره مارکوف جدول ۱۳ مشخصات دبی ماهانه طی ۱۳ سال را نشان می‌دهد. در جدول مذکور تعداد ماههای پرآب و کمآب، میانگین دبی ماهانه، بیشینه دبی مشاهده شده طی دوره، همچنین انحراف معیار و ضریب تغییرات دبی ماهانه طی دوره مشاهداتی (۱۹۹۹-۲۰۱۱) و دو دوره آتی (۲۰۲۰-۲۰۳۹ و ۲۰۴۰-۲۰۵۹) تحت سه سناریو A1B و A2 و B1، محاسبه و ارائه شده است.

در دوره ۲۰۲۰ - ۲۰۳۹، تحت سناریو A1B، در ماههای ژانویه و نوامبر افزایش دبی به میزان ۰/۲۵ و ۰/۰۷ مترمکعب در ثانیه پیش‌بینی می‌شود اما در سایر ماهها دبی پیش‌بینی شده کاهشی خواهد بود به طوری که بیشترین کاهش دبی مربوط به ماه آوریل به میزان ۱/۷۲ مترمکعب در ثانیه و کمترین کاهش مربوط به ماههای اکتبر و دسامبر به میزان ۰/۰۲ مترمکعب در ثانیه است. در سناریو A2، طی ماههای نوامبر تا فوریه افزایش دبی و در سایر ماهها کاهش دبی مورد انتظار است. پیش‌بینی سناریو B1 نیز

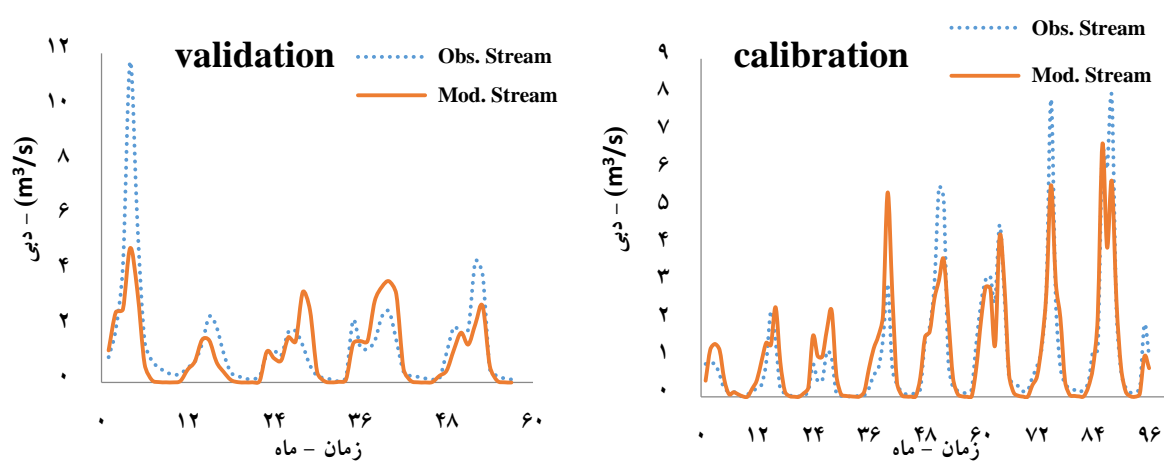
جدول ۹. تغییرات دما به تفکیک مدل تحت سناریو B1

دوره	ماه	CGCCM3	CNRMCM3	CSIROMK3/5	ECHOM5OM	ECHO-G	HADCM3	مدل ترکیبی
-۲۰۲۰	ژانویه	۰/۷	۰/۶	۰/۷	۰/۲	۰/۵	-۰/۱	۰/۵
	فوریه	۰/۶	۰/۳	۰/۴	-۰/۱	۰/۷	۱/۰	۰/۶
	مارس	۰/۷	۰/۹	۰/۰	۰/۲	۰/۷	۰/۸	۰/۷
	آوریل	۰/۷	۱/۲	-۰/۳	۰/۸	۰/۶	۰/۲	۰/۷
	می	۱/۲	۰/۱	۰/۸	۰/۷	۰/۹	۰/۷	۰/۷
	ژوئن	۱/۲	۰/۱	۰/۳	۱/۰	۰/۷	۲/۴	۱/۰
	۲۰۳۹	ژوئیه	۰/۹	۰/۳	۱/۱	۰/۶	۰/۸	۰/۷
	آگوست	۱/۰	۰/۵	۱/۴	۰/۷	۰/۹	۱/۴	۰/۵
	سپتامبر	۱/۲	۱/۰	۱/۱	۰/۷	۰/۸	۰/۷	۱/۰
	اکتبر	۰/۵	۱/۱	۱/۲	۰/۷	۰/۸	۰/۹	۰/۸
	نوامبر	۰/۴	۰/۵	۰/۶	۰/۷	۰/۷	-۱/۰	۰/۵
	دسامبر	۰/۲	۰/۶	-۰/۱	۰/۱	۰/۷	-۰/۴	۰/۴
-۲۰۴۰	ژانویه	۰/۸	-۰/۴	۱/۳	۰/۶	۱/۴	۰/۱	۱/۱
	فوریه	۱/۲	۰/۸	۱/۰	۰/۵	۱/۲	۱/۱	۱/۲
	مارس	۱/۲	۱/۰	۰/۸	۰/۸	۱/۲	۱/۳	۱/۲
	آوریل	۱/۴	۱/۲	-۰/۱	۱/۳	۱/۷	۱/۲	۱/۴
	می	۱/۴	۱/۱	۰/۷	۱/۵	۲/۲	۲/۶	۱/۶
	ژوئن	۱/۹	۰/۵	۰/۴	۱/۵	۱/۹	۳/۹	۱/۷
	۲۰۵۹	ژوئیه	۱/۶	۰/۲	۱/۳	۱/۳	۱/۹	۲/۴
	آگوست	۱/۵	۰/۹	۱/۸	۱/۵	۱/۹	۲/۰	۱/۰
	سپتامبر	۱/۷	۱/۵	۲/۲	۱/۶	۱/۸	۰/۴	۱/۶
	اکتبر	۱/۲	۱/۲	۲/۲	۱/۶	۱/۵	۱/۱	۱/۵
	نوامبر	۰/۹	۰/۸	۱/۲	۰/۹	۱/۶	۰/۰	۱/۲
	دسامبر	۰/۳	۰/۴	۱/۰	۱/۴	۱/۲	۰/۵	۱/۱

طبق جدول ۱۳، میانگین دبی ماهانه طی دوره‌های آتی سناریو A2 که افزایش ۵ درصدی میانگین دبی سالانه را نسبت به حالت پایه کاهش خواهد یافت، غیر از پیش‌بینی نشان می‌دهد.

جدول ۱۰. مقادیر واسنجی شده پارامترهای مدل IHACRES

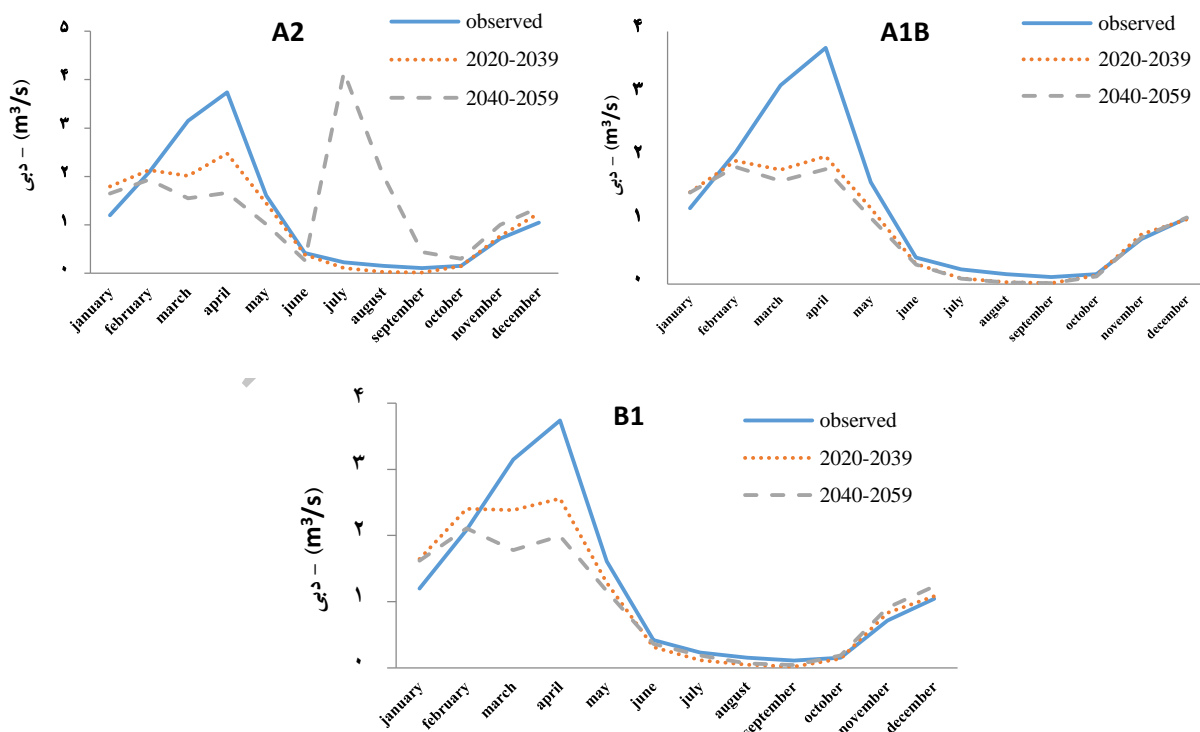
T(w)	f	R	L	P
۰۰	۰	۲۰	۰	۱



شکل ۷. مقایسه رواناب مشاهداتی متوسط حوضه با رواناب محاسباتی در دوره واسنجی و صحت‌سنجی

جدول ۱۱. مقادیر معیارهای ارزیابی مدل

NSE	MAE	R	RMSE	پایه زمانی	دوره
۰/۸۸	۰/۳۶	۰/۸۳	۰/۸۸	واسنجی	روزانه
۰/۹۹	۰/۴۵	۰/۹۰	۰/۷۳		ماهانه
۰/۷۳	۰/۳۰	۰/۸۱	۰/۳۴		سالانه
۰/۰۰	۰/۲۷	۰/۷۲	۰/۸۹	صحت‌سنجی	روزانه
۰/۹۹	۰/۷۳	۰/۷۰	۱/۱۹		ماهانه
۰/۶۵	۰/۳۲	۰/۴۷	۰/۴۷		سالانه



شکل ۸ رواناب پیش‌بینی شده برای هر دوره تحت هر سناریو در مدل IHACRES

جدول ۱۲. حجم جریان مشاهداتی و محاسباتی در دوره واسنجی و صحت سنجی (MCM)

		جریان کم >۶۰٪	جریان متوسط ۴۰٪ < ۵۵٪	جریان زیاد <۳۵٪
واسنجی	مشاهداتی	۳۹۸/۵	۲۳۹/۲۴	۶۸۳۵/۴۳
	شبیه‌سازی شده	۱۸۹/۷۷	۳۴۶/۷	۶۵۵۴/۵۵
صحت سنجی	مشاهداتی	۳۰۸	۱۶۵/۸۶	۲۴۴۳/۱۲
	شبیه‌سازی شده	۸۴/۵۵	۱۲۸/۰۷	۲۰۴۱/۸۷

ماتریس فوق احتمال تغییر وضعیت و انتقال حالت را نشان می‌دهد. برای مثال احتمال انتقال فرایند در یک مرحله از ماه پرآب (W) به ماه پرآب برابر 0.2 است یعنی $P(W \rightarrow W) = 0.2$. در صورتی که احتمال انتقال از پرآب به نرمال ($W \rightarrow N$) در یک مرحله برابر 0.4 است.

بررسی وضعیت ماتریس احتمال پایا

از ضرب مکرر ماتریس‌های احتمال در ماتریس اولیه، ماتریس احتمال تغییر وضعیت دبی در n ماه یا سال آیند به دست می‌آید؛ که جهت پیش‌بینی کم‌آبی و پرآبی در ماهها یا سال‌های آینده استفاده می‌شود. تغییر حالات بی‌شماری را می‌توان برای زنجیره مارکوف تصور و برآورد نمود. وقتی که ماتریس احتمال تغییر حالت را چندین بار به توان برسانیم در ماتریس تغییر وضعیت، پدیده غالب توجهی رخ می‌دهد. در این حالت همه سطرهای ماتریس تغییر وضعیت با هم برابر می‌شوند به طوری که اگر به توان رساندن ماتریس تغییر وضعیت را ادامه دهیم، درایه‌ها هیچ گونه تغییری نخواهند کرد. برای دبی ایستگاه پیرسلمان در دوره مشاهداتی ماتریس تغییر وضعیت در مرحله سیزدهم و تا ۴ رقم اعشار به این شرایط رسید.

$$P^{13} = \begin{bmatrix} 0.0380 & 0.0697 & 0.8923 \\ 0.0380 & 0.0697 & 0.8923 \\ 0.0380 & 0.0697 & 0.8923 \end{bmatrix} \quad (17)$$

در هر دو دوره آتی بیشترین کاهش میانگین مربوط به پیش‌بینی سناریو A1B به ترتیب به میزان ۳۱ و ۳۹ درصد می‌باشد. تعداد ماههای پرآب در سناریوهای A2 و B1 در دوره ۲۰۳۹-۲۰۲۰ به ترتیب افزایش ۵ و ۳ درصدی داشته و در سایر سناریوها کاهش خواهد یافت. تعداد ماههای کم‌آب نیز در هر دوره تحت هر سه سناریو کاهش خواهد یافت بجز در سناریو A2 دوره ۲۰۴۰-۲۰۵۹ که تعداد ماههای کم‌آب به شدت افزایش می‌یابد. تعداد ماههای نرمال تحت هر سه سناریو در هر دو دوره افزایش خواهد یافت غیر از سناریو A2 در دوره ۲۰۴۰-۲۰۵۹ که تعداد ماههای نرمال کاهش شدیدی دارد.

وضعیت احتمالی دوره‌های پرآبی و کم‌آبی
با فرض سه حالته بودن ماتریس فراوانی، وضعیت دبی ماهانه ایستگاه پیرسلمان در دوره مشاهداتی به صورت جدول ۱۴ مرتب شده است. اعداد بالایی مقادیر مشاهده شده (O) و اعداد داخل پرانتز مقادیر مورد انتظار (E) است.

با توجه به تعداد تغییر وضعیت‌ها به حالات‌های دیگر و نیز با عنایت به تعریف احتمال، ماتریس احتمال تغییر حالت از ماتریس فراوانی به شرح زیر حاصل شد.

$$P = \begin{bmatrix} 0.2 & 0.4 & 0.4 \\ 0.18 & 0.27 & 0.55 \\ 0.02 & 0.04 & 0.94 \end{bmatrix} \quad (16)$$

جدول ۱۳. مشخصات آماری دبی ماهانه ایستگاه پیرسلمان طی دوره‌های مختلف آماری

دوره (m3/s)	سناریو دوره (m3/s)	میانگین دبی ماهانه طی دوره (m3/s)	تعداد ماههای نرمال	تعداد ماههای پرآب	میانگین دبی ماهانه طی دوره (m3/s)	سنا	مشاهداتی
دوره (m3/s)	سناریو دوره (m3/s)	کمینه دبی ماهانه طی دوره (m3/s)	بسیمه دبی ماهانه طی دوره (m3/s)	تعدادماههای کم آب	تعداد ماههای نرمال	تعداد ماههای پرآب	پایه
۱/۴۱	۱/۷۳	۰/۰۱	۹/۲۹	۱۳۷	۱۱	۵	۱/۲۳
۰/۹۵	۰/۸۸	۰	۴/۳۷	۱۷۸	۵۶	۶	۰/۹۲ A1B
۰/۹۲	۰/۹۸	۰	۳/۸۵	۱۴۳	۷۷	۲۰	۱/۰۷ A2
۰/۹۵	۱/۰۱	۰	۴/۲۱	۱۶۰	۶۵	۱۵	۱/۰۷ B1
۰/۹۱	۰/۷۶	۰	۴/۱۴	۱۷۹	۵۷	۴	۰/۸۴ A1B
۳	۳/۸۴	۰	۵۳/۱۷	۲۳۸	۱	۱	۱/۲۸ A2
۰/۸۹	۰/۸۴	۰	۳/۸۶	۱۵۰	۸۴	۶	۰/۹۴ B1

کم آب دیگر حدود ۸۹/۲۳ درصد می‌باشد. در جدول (۱۵) ماتریس فراوانی، ماتریس احتمال و ماتریس احتمال پایا سالانه برای دوره مشاهداتی و دوره‌های آتی تحت سه سناریو محاسبه و ارائه گردیده است.

چنانچه ملاحظه می‌شود در دوره ۲۰۳۹-۲۰۲۰ بیشترین میزان احتمال وقوع ماههای پرآب متواالی مربوط به پیش‌بینی سناریو A2 حدود ۳۵ درصد و کمترین میزان احتمال وقوع چنین وضعیتی متعلق به پیش‌بینی سناریو B1 با احتمال حدود ۲۷ درصد است. همچنین بیشترین احتمال وقوع یک ماه پرآب بعد از یک ماه کم آب مربوط به پیش‌بینی سناریو B1 در حدود ۲ درصد است.

بنابراین با توجه به ماتریس احتمال پایای فوق، احتمال وقوع ماه پرآب بعد از ماه پرآب دیگر حدود ۳/۸ درصد، احتمال وقوع ماه نرمال بعد از ماه پرآب ۶/۹۷ درصد، احتمال وقوع کم آبی بعد از یک ماه پرآب حدود ۸۹/۲۳ درصد می‌باشد.

همچنین، احتمال وقوع ماه پرآب بعد از ماه نرمال حدود ۳/۸ درصد و نیز، احتمال وقوع ماه نرمال بعد از ماه نرمال دیگر حدود ۶/۹۷ درصد و احتمال وقوع ماه کم آب پس از ماه نرمال حدود ۸۹/۲۳ درصد است. و نیز احتمال وقوع ماه پرآب بعد از ماه کم آب حدود ۳/۸ درصد و نیز، احتمال وقوع ماه نرمال بعد از ماه کم آب حدود ۶/۹۷ درصد و احتمال وقوع ماه کم آب پس از ماه

جدول ۱۴. جدول دو بعدی مقادیر مشاهداتی و مورد انتظار ماتریس فراوانی دو حالت ایستگاه پیرسلمان در دوره مشاهداتی

	تغییر وضعیت زنجیره مارکوف دو حالت	W پرآب	N نرمال	D کم آب	\sum
W پرآب	۱ (۰/۱۶۴)	۲ (۰/۳۶۲)	۲ (۰/۴۷۴)	۵	
N نرمال	۲ (۰/۳۶۲)	۳ (۰/۷۹۶)	۶ (۹/۸۴۲)	۱۱	
D کم آب	۲ (۴/۴۷۴)	۶ (۹/۸۴۲)	۱۲۸ (۱۲۱/۶۸۴)	۱۳۶	
\sum	۵	۱۱	۱۳۶	۱۵۲	

جدول ۱۵. ماتریس فراوانی، ماتریس احتمال و ماتریس پایای دوره‌های مختلف ایستگاه پیرسلمان

دوره	سناریو	ماتریس فراوانی	ماتریس احتمال	ماتریس احتمال پایای
مشاهداتی	پایه	$F = \begin{bmatrix} 1 & 2 & 2 \\ 2 & 3 & 6 \\ 2 & 6 & 128 \end{bmatrix}$	$P = \begin{bmatrix} 0.2 & 0.4 & 0.4 \\ 0.18 & 0.27 & 0.55 \\ 0.02 & 0.04 & 0.94 \end{bmatrix}$	$P^{13} = [0.0380 \quad 0.0697 \quad 0.8923]$
A1B		$F = \begin{bmatrix} 2 & 4 & 0 \\ 3 & 33 & 20 \\ 1 & 18 & 158 \end{bmatrix}$	$P = \begin{bmatrix} 0.33 & 0.67 & 0 \\ 0.05 & 0.59 & 0.36 \\ 0.01 & 0.1 & 0.89 \end{bmatrix}$	$P^{20} = [0.0281 \quad 0.2275 \quad 0.7444]$
A2		$F = \begin{bmatrix} 7 & 13 & 0 \\ 12 & 43 & 21 \\ 0 & 21 & 122 \end{bmatrix}$	$P = \begin{bmatrix} 0.35 & 0.65 & 0 \\ 0.16 & 0.56 & 0.28 \\ 0 & 0.15 & 0.85 \end{bmatrix}$	$P^{29} = [0.0791 \quad 0.3213 \quad 0.5997]$
B1		$F = \begin{bmatrix} 4 & 9 & 2 \\ 8 & 39 & 18 \\ 3 & 16 & 140 \end{bmatrix}$	$P = \begin{bmatrix} 0.27 & 0.6 & 0.13 \\ 0.12 & 0.6 & 0.28 \\ 0.02 & 0.1 & 0.88 \end{bmatrix}$	$P^{24} = [0.0615 \quad 0.2615 \quad 0.6769]$
A1B		$F = \begin{bmatrix} 1 & 3 & 0 \\ 2 & 30 & 25 \\ 1 & 23 & 154 \end{bmatrix}$	$P = \begin{bmatrix} 0.25 & 0.75 & 0 \\ 0.03 & 0.53 & 0.44 \\ 0.01 & 0.13 & 0.86 \end{bmatrix}$	$P^{14} = [0.0194 \quad 0.2367 \quad 0.7439]$
A2		$F = \begin{bmatrix} 0 & 1 & 0 \\ 0 & 0 & 1 \\ 0 & 0 & 1 \end{bmatrix}$	$P = \begin{bmatrix} 0 & 1 & 0 \\ 0 & 0 & 1 \\ 0 & 0 & 1 \end{bmatrix}$	$P^2 = [0 \quad 0 \quad 1]$
B1		$F = \begin{bmatrix} 2 & 4 & 0 \\ 4 & 56 & 23 \\ 0 & 23 & 127 \end{bmatrix}$	$P = \begin{bmatrix} 0.33 & 0.67 & 0 \\ 0.05 & 0.67 & 0.28 \\ 0 & 0.15 & 0.85 \end{bmatrix}$	$P^{22} = [0.2540 \quad 0.3400 \quad 0.6346]$

پس از بررسی توانایی ۷ مدل AOGCM در شبیه‌سازی بارش و دما در منطقه مشخص شد که مدل‌های مختلف نتایج متفاوتی را ارائه می‌دهند که این موضوع بیانگر وجود عدم قطعیت در خروجی مدل‌های اقلیمی می‌باشد. به مثولور کاهش عدم قطعیت، یک مدل ترکیبی بر اساس میانگین وزنی همه مدل‌ها ارائه گردید که دقت بالاتری نسبت به هریک از مدل‌ها دارد. سپس پارامترهای بارش و دما برای دوره‌های ۲۰۳۹–۲۰۲۰ و ۲۰۴۰–۲۰۵۹ تحت سه سناریو A1B و A2 و B1 بر اساس مدل ترکیبی وزنی پیش‌بینی شد.

کمترین میزان احتمال وقوع ماههای کم‌آب متوالی مربوط به پیش‌بینی سناریو A2 حدود ۸۵ درصد و بیشترین میزان احتمال وقوع چنین وضعیتی متعلق به پیش‌بینی سناریو A1B با احتمال حدود ۸۹ درصد است. همانطور که مشاهده می‌شود طبق پیش‌بینی هرسه سناریو برای هر دو دوره آتی مورد مطالعه نسبت به دوره مشاهداتی احتمال وقوع پرآبی افزایش و احتمال کم‌آبی کاهش می‌یابد.

نتیجه‌گیری

در این پژوهش به منظور بررسی اثر عدم قطعیت تغییراقلیم بر احتمال تواتر رواناب ورودی به سد جامیشان

جدول ۱۶. احتمال پایای ماههای پرآب و کم‌آب همه دوره‌ها برای ایستگاه پیرسلمان

سناریو	پایه	مشاهداتی	دوره					
B1	A2	A1B	B1	A2	A1B	B1	A2	A1B
احتمال پرآبی	۰/۰۳۸	۰/۰۲۸۱	۰/۰۷۹۱	۰/۰۶۱۵	۰/۰۱۹۴	۰/۰۲۵۴	۰/۰۲۵۴	۰/۰۴۰۰
احتمال نرمال	۰/۰۶۹۷	۰/۲۲۷۵	۰/۳۲۱۳	۰/۲۶۱۵	۰/۲۳۶۷	۰/۰۳۴۰۰	۰/۰۳۴۰۰	۰/۰۳۴۰۰
احتمال کم‌آبی	۰/۸۹۲۳	۰/۷۴۴۴	۰/۵۹۹۷	۰/۶۷۶۹	۰/۷۴۳۹	۰/۶۳۴۶	۰/۰۶۳۴۶	۰/۰۶۳۴۶

میلی متر است. سناریوهای A1B و B1 کاهش بارش شدیدتری را برای دوره دوم نسبت به دوره اول پیش‌بینی می‌کنند اما سناریو A2 کاهش بارش دوره دوم را کمتر از دوره اول نشان می‌دهد. همچنین دمای سالانه نیز در هر دو دوره تحت هر سه سناریو افزایش خواهد یافت. در مجموع هر سه سناریو A1B، A2 و B1 افزایش دمای سالانه به میزان ۱/۰ و ۰/۷ درجه سانتی‌گراد را در دوره ۲۰۴۰-۲۰۳۹ پیش‌بینی می‌کنند. در دوره ۲۰۵۹ نیز تحت هر سه سناریو در همه ماه‌ها افزایش دما رخ خواهد داد. تحت سناریو A1B بیشترین افزایش دما در ماه‌های زوئن و زوئنی به میزان ۲/۵ و کمترین افزایش دما در ماه زانویه به میزان ۱/۵ درجه سانتی‌گراد می‌باشد. در سناریو A2 بیشترین افزایش در ماه‌های مه و زوئن به اما در سایر ماه‌ها دبی پیش‌بینی شده کاهشی خواهد بود، در سناریو A2، طی ماه‌های مارس تا زوئن کاهش دبی و در سایر ماه‌ها افزایش دبی مورد انتظار است. فصل بهار کاهش دبی حدود ۵/۸ درصد طی فصول تابستان و پاییز و زمستان افزایش دبی در حدود ۱۱۵۱/۹، ۶۱/۲ و ۵/۸ درصد خواهد داشت. پیش‌بینی سناریو B1 نیز نشان می‌دهد بیشترین و کمترین کاهش دبی به میزان ۳/۹۶ و ۰/۰۳ به ترتیب متعلق به ماه‌های زوئنی و زانویه است. طی فصول تابستان و پاییز کاهش دبی حدود ۱۸/۷ و ۳۳ درصد و در فصول بهار و زمستان افزایش دبی در حدود ۱۳/۷ و ۴/۵ درصد اتفاق خواهد افتاد.

در نهایت به منظور بررسی تواتر دوره‌های پرآبی و کم‌آبی از ماتریس احتمال انتقال و روش زنجیره مارکوف استفاده شد و احتمال رخداد ماه‌های پرآب و کم آب در دوره مشاهداتی و هر یک از دوره‌های آتی و سناریوهای اقلیمی محاسبه شد.

نتایج روند تغییرات بارش و دما در این پژوهش به نتایج محققانی از جمله کمال و مساح (۱۳۹۰)، که در حوضه آبریز کرمانشاه در زمینه تغییر اقلیم پرداخته‌اند

نتایج نشان داد در هر دو دوره بارش سالانه تحت هر سه سناریو کاهش یافته و کاهش در دوره دوم شدیدتر از دوره اول است. در دوره ۲۰۴۰-۲۰۳۹، میزان کاهش بارش سالانه تحت سه سناریو A2، A1B و B1 به ترتیب ۰/۷ و ۰/۶ و ۰/۴ میلی متر است. در دوره ۲۰۵۹-۲۰۴۰، سناریو A1B، تغییرات بارش از ۶۸/۸ درصد در ماه نوامبر تا ۱۲۰/۸+ درصد در ماه زوئن را پیش‌بینی می‌کند. بارش طی فصول تابستان و پاییز و زمستان به ترتیب کاهش ۱۴/۹ و ۲۲/۹ و ۱۰/۸ درصدی و در فصل بهار افزایش ۳۰/۱ درصدی خواهد داشت. در این دوره نیز همانند دوره قبل هر سه سناریو کاهش بارش سالانه را پیش‌بینی می‌کنند. میزان کاهش بارش سالانه تحت سه سناریو A2، A1B و B1 به ترتیب ۰/۸ و ۱/۹ و ۲/۶ میزان و کمترین افزایش به میزان ۱/۴ سانتی‌گراد در ماه فوریه است. تحت سناریو B1، بیشترین افزایش دما در ماه زوئن به میزان ۱/۷ و کمترین افزایش به ماه اوت به میزان ۱ درجه سانتی‌گراد تعلق دارد. به‌طور کلی تحت هر سه سناریو A1B و A2 و B1 افزایش دمای سالانه به میزان ۲ و ۱/۳ درجه سانتی‌گراد است. تحت هر سه سناریو افزایش دمای سالانه طی دوره دوم بیشتر از دوره اول است. به منظور پیش‌بینی رواناب آینده از مدل بارش - رواناب روزانه IHACRES استفاده شد و مدل بر اساس داده‌های مشاهداتی واسنجی و صحبت‌سنجی شد و سپس رواناب آینده تحت سه سناریو و برای دو دوره پیش‌بینی شد. نتایج نشان داد که در هر دو دوره آینده تحت هر سه سناریو رواناب سالانه کاهش یافته به جز سناریو A2 که در دوره ۲۰۴۰-۲۰۵۹ افزایش دبی سالانه را پیش‌بینی می‌کند. بیشترین و کمترین کاهش دبی به میزان ۰/۷۷ و ۰/۰۱ به ترتیب متعلق به ماه‌های مارس و اکتبر است. در دوره ۲۰۵۹-۲۰۴۰، تحت سناریو A1B در ماه‌های نوامبر تا زانویه افزایش دبی به ترتیب به میزان ۰/۰۲ و ۰/۰۱ متر مکعب در ثانیه پیش‌بینی می‌شود.

اگرچه هنوز سناریویی چهارم در تمام دنیا قابل استناد است ولی مقایسه نتایج این سناریو با گزارش پنجم می تواند افق جدیدی را در پیش بینی های اقلیمی ایجاد کند. روش های استوکاستیکی نیز می تواند برای پیش بینی جریان آینده همراه با عدم قطعیت در افق های کوتاه مدت موثر باشد.

همخوانی دارد. بررسی دقیق مدل ها و نتایج آنها در این پژوهش راهکاری در جهت برنامه ریزی بهینه سد در مباحث تخصیص منابع و مصارف است که در ادامه این پژوهش به آن پرداخته شده است. پیشنهاد می گردد در پژوهش های آتی جهت پیش بینی تغییرات پارامتر های اقلیمی از مدل های گزارش پنجم IPCC استفاده گردد.

فهرست منابع

- آشفته، پ.س.، بزرگ حداد، ا. ۱۳۹۴. رویکردی جدید برای ارزیابی عملکرد مدل های AOGCM در شبیه سازی رواناب. نشریه پژوهش های حفاظت آب و خاک، ۲۲(۲): ۹۵-۱۱۰.
- آشفته، پ.س.، مساح، ع. ر. ۱۳۹۱. بررسی تاثیر عدم قطعیت مدل های چرخه عمومی جو و اقیانوس (AOGCM) و سناریو انتشار گازهای گلخانه ای بر رواناب حوضه تحت تاثیر تغییر اقلیم، مطالعه موردی: حوضه قرنقو، آذربایجان شرقی. تحقیقات منابع آب ایران، ۸(۲): ۴۷-۳۶.
- خردادی، م. ج.، علیزاده، ا.، نصیری محلاتی، م.، هوشمند، د. ۱۳۹۲. ارزیابی اثر تغییر اقلیم بر پارامتر های اقلیمی و دوره های خشک و تر در صد سال آتی با تلفیق روش های وزن دهنی عکس فاصله و عامل تغییر (مطالعه موردی زیر حوضه تهران کرج). مجله جغرافیا و توسعه ناحیه ای، ۲۱: ۱۷۸-۱۵۵.
- شاه کرمی، ن.، مساح، ع. ر.، مرید، س.، فهمی، ه. ۱۳۸۶. تحلیل عدم قطعیت مدل های جفت شده اقیانوس - اتمسفر - گردش عمومی جو بر سناریوهای تغییر اقلیم دما و بارندگی در حوضه زاینده رود. کارگاه فنی اثرات اقلیم در مدیریت منابع آب. قاسمی، ا.، فتاحی، ا.، بابایی، ا. ۱۳۹۲. تاثیر تغییر اقلیم بر رواناب با رویکرد عدم قطعیت مدل های گردش عمومی جو. مطالعات جغرافیایی مناطق خشک، ۱(۱۳): ۵۳-۳۷.
- کمال، ع. ر.، مساح، ع. ر. ۱۳۹۰. ارزیابی عدم قطعیت مدل های AOGCM-AR4 و مدل های هیدرولوژیکی در تخمین دما، بارش و رواناب حوضه قره سو تحت تاثیر تغییر اقلیم. مجله پژوهش آب ایران، ۵(۹): ۵۰-۳۹.
- مساح، ع. ر.، مرید، س.، محمدزاده، م. و گودس، ک. ۱۳۸۵. بررسی تاثیر عدم قطعیت در توزیع تجمعی احتمالاتی رواناب تحت تاثیر تغییر اقلیم. دومن کنفرانس منابع آب ایران، دانشگاه صنعتی اصفهان، اصفهان، بهمن ۱۳۸۵.
- Intergovernmental Panel on Climate Change (IPCC), 2007. Summary for Policymakers Jakeman, A. J., Hornberger, G. M. 1993. How much complexity is warranted in a rainfall-runoff model. Water Resources Research, 29(8): 2637-2649.
- Javid, Y. and Apoorva, K. V.2015. Flow Regionalization Under Limited Data Availability Application of IHACRES in the Western Ghats. Internation Conference On Water Resoures, Coastal And Ocean Engineering (ICWRCOE 2015), Aquatic Procedia 4: 933-941.
- Lane, M.E., Kirshen, P.H and Vogel, R.M. 1999. Indicators of Impact of Global Climate Change on U.S Water Resources, ASCE. Journal Water resources, Planning and Manage, 125(4): 194-204.
- Littlewood, L. G., Clarke, R. T., Collischonn, W, and Croke, B. F.W. 2007. Predicting daily Streamflow using rainfall forecasts, a simple loss module and unit hydrographs: Two Brazilian catchments. Environmental Modelling and Software, 22: 1229-1239.
- Meshkin nezhad, S., Mashal ,M and Hedayat, N. 2013. Simulation of the climate change impact on runoff in the Dez dam area. International Journal of Agriculture and Crop Sciences, 6(3): 121-126
- Mwangi, J. K., Gathenya, J. M and Ondieki, C. M. 2008. Application of Ihacres Conceptual Rainfall-Runoff Model to Simulate Daily Stream Flow in Upper Tana Basin, Kenya. Journal of Civil Engineering Research and Practice. 5(2): 69-82.

-
-
- Soojin, M., Hyun, S., and Kang, B. 2015. Future Flow duration Projection of Bayesian Ensemble Model using the IHACRES model. E-proceedings of the 36th IAHR World Congress, The Hague, the Netherlands July 2015.
- Semenov, Mikhail A., and Stratonovitch, P. 2010. Use of multi-model ensembles from global climate models for assessment of climate change impacts. Climate research 41(1): 1-41.
- Vaze, J., Post, D.A., Chiew, F.H.S., Perraud, J.M., Viney, N.R and Teng, j. 2010. Climate non-stationary validity of calibrated rainfall-runoff models for use in climate change studies. Journal of Hydrology, 394: 447-457.
- Wilby, R.L., Harris, I. 2006. A frame work for assessing uncertainties in climate change impacts: low flow scenarios for the River Thames, UK. Water Resources Research, 42(2):1-10.

Archive of SID



ISSN 2251-7480

Assessment of climate change uncertainty and its effects on the probability of the Jamishan dam inflow frequency

Maryam Hafezparast^{1*}, Ali Bafkar² and Elahe Panahi³

¹ *)Assistant Professor, Department of Water Engineering, Razi University, Kermanshah, Iran

*Corresponding author email: m.hafezparast@razi.ac.ir

2) Assistant Professor, Department of Water Engineering, Razi University, Kermanshah, Iran

3) M.Sc. Department of water Resource Management, Razi University, Kermanshah, Iran

Received: 22-06-2016

Accepted: 03-11-2016

Abstract

In order to assess the uncertainty of climate change and its effect on the discharge into the Jamishan dam located in the northwestern province of Kermanshah changes in temperature and precipitation parameters in the periods 2020-2039 and 2040-2059 were calculated using a combination of weighted average seven climate model output under three emission scenarios A1B, B1 and A2 respectively. The daily rainfall and temperature forecasts for future periods under each climate scenario was entered to rainfall-runoff calibrated and validated model 'IHACRES' and the daily runoff of future periods under each scenario was predicted. In order to determine periods of high-water and water shortage in the status quo and future periods, using Markov chain transition probability matrix, the Frequency months of wet, normal and drought were calculated. The results showed that in the period 2020-2039, annual rainfall decreases and temperature increases. In the period 2040-2059 the annual temperature changes are most severe between -0.66 and +2 °C. A1B and B1 scenarios show annual rainfall and runoff reduction and increase in the A2 scenario.

Keywords: climate change, IHACRES, Markov chain, uncertainty